

ОСОБЕННОСТИ ТРАНСЛЯЦИОННОГО ДВИЖЕНИЯ ДОМЕНОВ В ЭПИТАКСИАЛЬНЫХ ФЕРРИТ-ГРАНАТОВЫХ ПЛЕНКАХ С РАЗОРИЕНТИРОВАННЫМИ ПОВЕРХНОСТЯМИ

Дубинко С. В., кандидат физико-математических наук, доцент

Эпитаксиальные пленки феррит-гранатов (ЭПФГ) обладают наведенной одноосной магнитной анизотропией, возникающей в процессе выращивания пленок. Изменение характера анизотропии можно достигнуть при выращивании ЭПФГ на разориентированных поверхностях, которые не совпадают с естественными кристаллографическими плоскостями. При этом возникает наклон оси легкого намагничивания (ОЛН). Магнитная анизотропия играет существенную роль в процессах перемагничивания ЭПФГ. Частным типом перемагничивания является трансляционное движение цилиндрических магнитных доменов (ЦМД), которое практически не исследовано в ЭПФГ с наклоном ОЛН.

В настоящей работе приводятся экспериментальные данные исследования трансляционного движения ЦМД в пленках с составом $(\text{BiLu})_3\text{Fe}_5\text{O}_{12}$, выращенных на подложках гадолиний-галлиевого граната, поверхности которых лежат между кристаллографическими плоскостями (111) и (112) (рис. 1). Трансляционное движение доменов исследовалось магнитооптическим методом на установке, собранной на базе поляризационного микроскопа. Продвижение ЦМД осуществлялось с помощью градиентной петли на площади 40×300 мкм, меньшая сторона прямоугольника располагалась вдоль \mathbf{n} , где \mathbf{n} - направление градиента импульсного продвигающего магнитного поля, а большая - вдоль проводника.

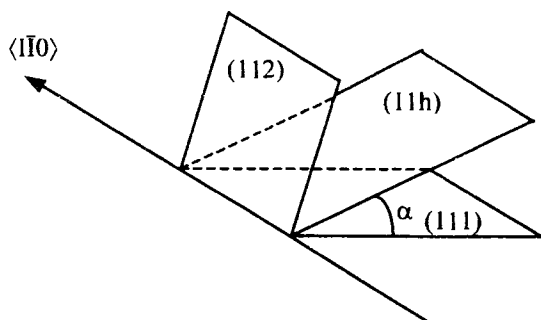


Рис. 1. Ориентация кристаллографических поверхностей в ЭПФГ

Для исследований были выбраны шесть образцов ЭПФГ. Для первого образца угол α равнялся нулю градусов, что соответствовало плоскости (111), для последнего образца $\alpha = 19,4^\circ$ -- плоскость (112). Угол α между плоскостями (112) и (11h) составлял $4^\circ \pm 0,5^\circ$. Исследование характера движения доменов проводилось следующим образом. Проекция ОЛН на плоскость образца располагалась, соответственно, параллельно и перпендикулярно \mathbf{n} . Для ряда образцов исследовался характер движения доменов также и для других углов между проекцией ОЛН на плоскость пленки и \mathbf{n} . Геометрия эксперимента по исследованию трансляционного движения ЦМД представлена на рис. 2. Точность измерения угла между направлениями \mathbf{m} и \mathbf{n} составляла $\sim 0,5^\circ$.

Методом ферромагнитного резонанса были измерены константы магнитной анизотропии: K_u - константа одноосной анизотропии и $K_{от}$ - константа ромбической анизотропии, K_1 - константа кубической анизотропии. На рис. 3 представлена зависимость отношения констант ромбической и одноосной анизотропии от угла α , а следовательно и наклона ОЛН. Показано, что вклад ромбической анизотропии растет по мере увеличения наклона ОЛН, при значении $\alpha = 15,3^\circ$ наблюдается резкое увеличение $K_{от}/K_u$. Зависимость $K_{от}/K_u$ от α определяет характер трансляционного движения ЦМД.

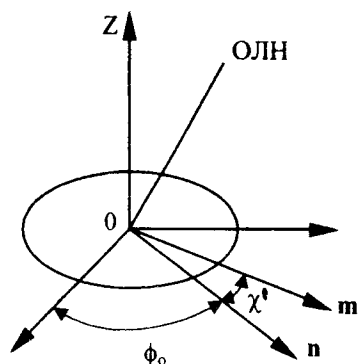


Рис. 2. Геометрия эксперимента, n - направление градиента продвигающего поля, m - направление движения ЦМД

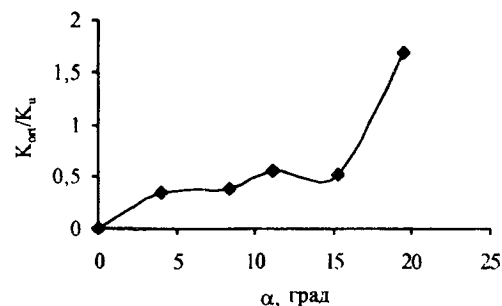


Рис. 3. Зависимость констант анизотропии ЭПФГ от α

Анализ трансляционного движения ЦМД в пленках с $\alpha = 0^\circ$ показал, что магнитная анизотропия в плоскости образца, обусловленная наклоном ОЛН, не оказывает существенного влияния на движение ЦМД. В пленках с $\alpha = 8,3^\circ$ и $11,3^\circ$ магнитная анизотропия в плоскости пленки повышает вероятность образования ЦМД, движущихся вдоль n .

В пленках с $\alpha = 15,3^\circ$ и $19,4^\circ$ магнитная анизотропия в плоскости пленки полностью определяет характер трансляционного движения ЦМД, которые имеют явно выраженную эллиптическую форму. Рассмотрим поведение ЦМД на примере ЭПФГ с $\alpha = 19,4^\circ$. При изменении угла ϕ_0 в плоскости образца на 360° была обнаружена асимметрия трансляционного движения ЦМД (рис. 4), которая связана с наличием анизотропии в плоскости пленки.

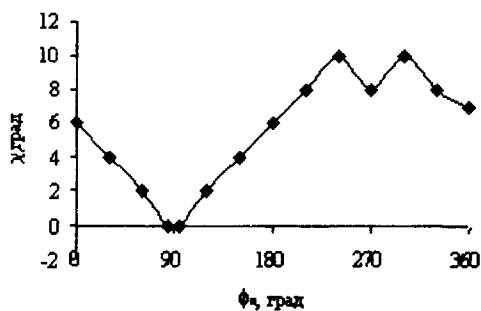


Рис. 4. Зависимость угла χ от ϕ_0

Энергия магнитной анизотропии для ЭПФГ с ориентацией (112) имеет следующий вид:

$$E = (K_u + 2\pi M_0^2)\cos^2\theta + K_{\text{от}}(\sin^2\theta\sin^2\varphi + 2^{1/2}\sin 2\theta \sin\varphi) + K_1[(\sin^4\theta \cos^4\varphi + \cos^4\theta)/4 + (\sin^4\theta\sin^4\varphi)/3 + \sin^2 2\theta\cos^2\varphi - 2^{1/2}(\sin\theta\cos^3\theta\sin\varphi)/3 + 2^{1/2}\sin^3\theta\cos^2\varphi\sin\varphi\cos\theta], \quad (1)$$

где θ и φ - углы, описывающие ориентацию вектора намагниченности M относительно ЭПФГ, равновесное положение которого в исследуемом образце реализуется при $\theta = 48^\circ$.

Для объяснения асимметричного трансляционного движения ЦМД была построена зависимость энергии анизотропии ЭПФГ от угла φ при фиксированном значении угла θ , соответствующему равновесному положению вектора M (рис. 5).

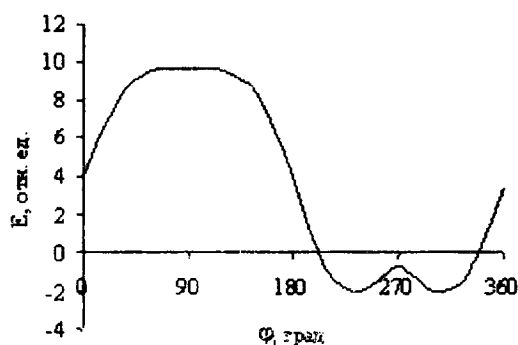


Рис. 5. Зависимость энергии анизотропии ЭПФГ от φ при $\theta = 48^\circ$

Из представленной на рис. 5 зависимости видно, что она коррелирует с зависимостью, показанной на рис. 4. Изменение величины энергии анизотропии определяет величину угла χ , то есть возникает "притягивающий" эффект, когда ЦМД стремится двигаться вдоль n в направлениях, которым соответствует большее значение энергии анизотропии, и наоборот. Данное поведение ЦМД определяется действием внешней гиротропной силы, создаваемой градиентом продвигающего поля, и силой, которая препятствует движению ЦМД и обусловлена процессами рассеяния энергии на доменной границе [1]. Приведенные в [1] результаты исследования трансляционного движения ЦМД обусловлены присутствием в плоскости пленки магнитного поля. В нашем случае составной частью препятствующей силы, определяющей эллиптичность ЦМД и характер их трансляционного движения, являлась магнитная анизотропия.

Литература.

1. Beaulieu T. J., Calhoun B.A. Dependence of bubble deflection angle on the orientation of an in-plane magnetic field // Appl. Phys. Letters.- 1976.- V. 28, N 5.- P. 290-292.